

Хаотическая аэродинамика крыла экраноплана: Основания. Общая теория

А.Н. Панченков

Нижегородский государственный технический университет
Россия, 603000, г. Нижний Новгород, ул. М.Горького, д.148, кв.26.

I. Общие сведения

Как известно, проблема динамики и стабилизации экранопланов входит в число ключевых фундаментальных проблем их создания. Выполненный в монографии «Экспертиза экранопланов» [1] анализ привел меня к заключению о том, что на сегодня исследования и результаты исследований динамики и стабилизации носят элементарный (и можно сказать поверхностный) характер. Здесь в определенной степени оказывается справедливым вывод о том, что неразработанность этой проблемы является одним из основных препятствий на пути создания современных эффективных экранопланов.

Стратегия развития динамики экранопланов очевидна и ясна: динамика экранопланов должна создаваться по образу и подобию динамики современных самолетов. Но нам до этого очень далеко.

Динамика современных самолетов – хаотическая динамика, а динамика экранопланов застряла на начальных этапах эпохи детерминизма. Отсюда и возникает главная задача общей проблемы экранопланов: *нам нужна хаотическая динамика экранопланов*. Здесь существует важный аспект: в хорошей науке математические модели летательных аппаратов опираются на аэродинамику.

Из этого факта и следует основная логическая формула:

Хаотическая динамика экраноплана → хаотическая аэродинамика крыла экраноплана

Следствие этой формулы очевидно: Нам нужна хаотическая аэродинамика экраноплана; без нее надежд на создание достоверной, доброкачественной и эффективной хаотической динамики экранопланов нет. Именно это и определяет актуальность и востребованность в общей проблеме создания экранопланов хаотической аэродинамики крыла экраноплана.

Поскольку турбулентность является одним из видов хаоса, то нестрогую хаотическую аэродинамику можно мыслить как аэродинамику крыла в турбулентном потоке. Но это узкий взгляд; в общем случае хаотическая аэродинамика крыла является аэродинамикой крыла в хаотической сплошной среде. Состояние дел в околоэкранный аэродинамике таково, что в текущий момент у нас есть все необходимое для создания концепции, методологии и инструментальных средств хаотической аэродинамики экраноплана.

В этом необходимом выделяются три части:

1. Аэродинамика крыла в ограниченной жидкости (А.Н. Панченков [2,3]).
2. Аэродинамика низколетящего крыла (А.Н. Панченков [4÷7] К.В. Рождественский, Шейла Виднел).
3. Энтропия и Аналитическое Естествознание (Шеститомник А.Н. Панченкова [8÷13]).

В идеологии хаотической аэродинамики важное значение имеет установленный мною в книге «Энтропия-2: Хаотическая механика» следующий факт: Естественной средой обитания турбулентности является комплексное фазовое пространство [9].

При этом определяющим фактором, приводящим к целесообразности и необходимости комплексификации, является существование в хаотической сплошной среде ротора. Напомню, что уравнения Навье-Стокса были введены в гидродинамику для описания ламинарных потоков вязкой несжимаемой жидкости: при этом вопрос об обоснованности и достоверности их применения для турбулентных потоков до сих пор остается открытым. Конкретные материалы и факты, устанавливающие необходимость перехода в проблеме турбулентности к комплексным уравнениям Навье-Стокса,

содержатся в моей книге [9] и статьях [14], [15]. В проблеме турбулентности, обычно, возникновение турбулентности связывают с потерей устойчивости ламинарного движения. Я принял другую гипотезу, никак не связанную с потерей устойчивости ламинарного движения.

В этой гипотезе причина турбулентности кроется в разрушении ламинарного потока. Разрушение ламинарного потока, как некоторой структуры, прямо не связано с устойчивостью движения; речь идет не о потере устойчивости, а о разрушении одной структуры (ламинарного потока) и о возникновении вслед за разрушением другой структуры (турбулентного потока). Разрушение и возникновение структуры происходит в хаосе, что и определяет ключевую роль хаотической аэродинамики.

Развитие эффективной теории турбулентности, на основе гипотезы разрушения ламинарного потока естественным образом требует введения комплексных базовых геометрических объектов и комплексных уравнений Навье-Стокса. Здесь полезно и следующее суждение: на глубинном уровне феноменология турбулентности в комплексных пространствах опирается на происходящий в текущий период времени переход от механики материальной точки к механике ориентированной материальной точки [10,11]. Теперь я приведу один ключевой факт. Лежащий в основании хаотической аэродинамики крыла экраноплана постулат имеет формулировку: *Концептуальная модель хаотической аэродинамики крыла экраноплана является конкретизацией энтропийной концептуальной модели* [13].

II. Комплексное фазовое пространство: базовый геометрический объект хаотической аэродинамики над полем вещественных чисел

Базовый геометрический объект хаотической аэродинамики – фазовое пространство конструируется традиционным способом путем расширения базового геометрического объекта гидродинамики – конфигурационного пространства [9].

Фазовым пространством называется многообразие Ω с локальными координатами $\{q, p\}$:

$$\Omega = \{q, p \mid q \in \Omega_q; p \in \Omega_p; \Omega = \Omega_q \times \Omega_p; \Omega \subset \mathbb{R}^3 \oplus \mathbb{R}_3\}; \quad (1)$$

$$\Omega_q = \{q \mid \Omega_q \subset \mathbb{R}^3\}; \Omega_p = \{p \mid \Omega_p \subset \mathbb{R}_3\}.$$

- Здесь: 1. \mathbb{R}^3 – трехмерное евклидово пространство.
 2. \mathbb{R}_3 – сопряженное трехмерное евклидово пространство.
 3. Ω_q – конфигурационное пространство.
 4. Ω_p – пространство импульса.
 5. q – обобщенная координата.
 6. p – импульс.

В свою очередь, комплексное фазовое пространство имеет вид:

$$\Omega = \{q, p \mid q \in \Omega_q; p \in \Omega_p; \Omega = \Omega_q \times \Omega_p; \Omega \subset \mathbb{C}^3 \oplus \mathbb{C}_3\}; \quad (2)$$

$$\Omega_q = \{q \mid \Omega_q \subset \mathbb{C}^3\}; \Omega_p = \{p \mid \Omega_p \subset \mathbb{C}_3\}.$$

- Здесь: 1. \mathbb{C}^3 – комплексное трехмерное евклидово пространство.
 2. \mathbb{C}_3 – сопряженное комплексное евклидово пространство.
 3. Ω_q – конфигурационное пространство.
 4. Ω_p – пространство импульса.
 5. q – комплексная обобщенная координата.
 6. p – комплексный импульс.

III. Объект хаотической аэродинамики: хаотическая сплошная среда

Объект хаотической аэродинамики крыла экраноплана я ввел следующим утверждением:

Утверждение 1. *Объектом хаотической аэродинамики крыла экраноплана является хаотическая сплошная среда.*

Обращаясь к монографиям моего шеститомника «Энтропия» в комплексном фазовом пространстве объект хаотической аэродинамики – хаотическая сплошная среда вводится следующим определением.

Определение 1. *Хаотической сплошной средой называется абстрактный объект, определяемый аксиомами:*

1. *Хаотическая сплошная среда находится в ограниченной области комплексного пространства $\mathbb{C}^n \oplus \mathbb{C}_n$, называемой комплексным фазовым пространством.*

2. *В комплексном фазовом пространстве состояние хаотической сплошной среды характеризуется двойственными локальными координатами: q – обобщенной координатой; p – импульсом.*

При этом: $q \in \Omega_q$; $p \in \Omega_p$; $\Omega_q \subset \mathbb{C}^n$; $\Omega_p \subset \mathbb{C}_n$; $\Omega = \Omega_q \times \Omega_p$.

3. *Состояния хаотической сплошной среды параметризованы: параметром параметризации является комплексное астрономическое время z .*

4. *Хаотическая сплошная среда обладает комплексной плотностью $\rho = \rho(q, p, z)$.*

5. *Масса хаотической сплошной среды – сохраняющаяся величина.*

6. *В комплексном фазовом пространстве определена энтропия хаотической сплошной среды.*

7. *Экстремальным принципом хаотической сплошной среды является принцип максимума энтропии Панченкова.*

8. *Фундаментальной симметрией является двойственность.*

Сужение этого объекта на вещественное фазовое пространство выглядит так.

Определение 2. *Хаотической сплошной средой называется абстрактный объект, определяемый аксиомами:*

1. *Хаотическая сплошная среда находится в ограниченной области пространства $\mathbb{R}^n \oplus \mathbb{R}_n$, называемой фазовым пространством.*

2. *В фазовом пространстве состояние хаотической сплошной среды характеризуется двойственными локальными координатами: q – обобщенной координатой; p – импульсом.*

При этом: $q \in \Omega_q$; $p \in \Omega_p$; $\Omega_q \subset \mathbb{R}^n$; $\Omega_p \subset \mathbb{R}_n$; $\Omega = \Omega_q \times \Omega_p$.

3. *Состояния хаотической сплошной среды параметризованы: параметром параметризации является астрономическое время t .*

4. *Хаотическая сплошная среда обладает плотностью $\rho = \rho(q, p, t)$.*

5. *Масса хаотической сплошной среды – сохраняющаяся величина.*

6. *В фазовом пространстве определена энтропия хаотической сплошной среды.*

7. *Экстремальным принципом хаотической сплошной среды является принцип максимума энтропии Панченкова.*

8. *Фундаментальной симметрией хаотической сплошной среды является двойственность.*

Замечание: *Масса хаотической сплошной среды определяется следующим образом:*

$$m = \int_{\Omega} \rho \, d\Omega; \quad \{q, p\} \in \Omega. \quad (3)$$

IV. Энтропийные многообразия

Принцип максимума энтропии Панченкова выделяет в фазовом пространстве основной геометрический объект – энтропийное многообразие. Энтропийное многообразие – это многообразие фазового пространства, на котором поддерживается глобальная симметрия – закон сохранения энтропии [8].

$$\mathcal{E} = \{q, p \mid \mathcal{E} \subset \Omega, H_t\}. \quad (4)$$

Первым сужением энтропийного многообразия вещественного фазового пространства является соленоидальное многообразие:

$$\mu = \left\{ q, p \mid \mu \subset \mathfrak{E}; \operatorname{div} A; A = \left[\frac{\partial q}{\partial t}; \frac{\partial p}{\partial t} \right] \right\}. \quad (5)$$

На соленоидальном многообразии симметрия – закон сохранения энтропии поддерживается уравнением

$$\sigma = \operatorname{div} A; \sigma = 0; \{q, p\} \in \mu. \quad (6)$$

Введение в теорию потенциала ускорений приводит к очередному сужению энтропийного многообразия – многообразию потенциала ускорений:

$$\pi = \left\{ q, p \mid \pi \subset \mu; \Theta; \xi = \begin{pmatrix} 0 & -E \\ E & 0 \end{pmatrix} \right\}. \quad (7)$$

Здесь: Θ – потенциал ускорений, $\xi = \begin{pmatrix} 0 & -E \\ E & 0 \end{pmatrix}$ – кососимметрическая матрица метрики (метрика), E – единичная диагональная матрица.

На вещественном многообразии потенциала ускорений справедливы канонические уравнения потенциала ускорений:

$$\begin{aligned} \frac{\partial q}{\partial t} &= -\frac{\partial \Theta}{\partial p}; \{q, p\} \in \pi; \\ \frac{\partial p}{\partial t} &= \frac{\partial \Theta}{\partial q}. \end{aligned} \quad (8)$$

Подмногообразие многообразия потенциала ускорений, содержащее потенциал импульса, носит название Гильбертова поля.

Гильбертово поле имеет вид:

$$\mathfrak{S} = \{q, p \mid \mathfrak{S} \subset \pi; \Psi\}.$$

На Гильбертовом поле

$$p \triangleq \operatorname{grad} \Psi; \Psi = \Psi(q, t)$$

и справедливо уравнение потенциала ускорений:

$$\frac{\partial \Psi}{\partial t} = \Theta; \{q, p\} \in \mathfrak{S}.$$

Сужение Гильбертова поля, содержащее хаотические потоки я выполнил с помощью специализации основной структуры – потенциала ускорений. Этот потенциал ускорений и выделяет из состава Гильбертова поля подмногообразие – особое Гильбертово поле.

$$L_s = \left\{ q, p \mid L_s \subset \mathfrak{S}; \Theta = - \left(\dot{q} | p \right)_{\mathbb{R}^3} - \Pi \right\}. \quad (9)$$

Основное энтропийное многообразие диффузии реализуется путем задания на особом Гильбертовом поле двух известных фундаментальных структур:

$$\Psi = H_q; H_q = -\ln \eta; q \in L_s. \quad (10)$$

Этим актом и конструируется Диффузионное поле:

$$D_s = (q, p \mid D_s \subset L_s; \Psi = H_q; H_q = -\ln \eta). \quad (11)$$

В формуле (10): H_q – энтропия Панченкова; η – плотность хаотической сплошной среды конфигурационного пространства.

V. Хаотические потоки на Диффузионном поле: два онтологических уровня

В составе аналитического Естествознания хаотическая аэродинамика крыла экраноплана идентифицируется посредством определения.

Определение 3. *Хаотическая аэродинамика крыла экраноплана – это аэродинамика потоков на Диффузионном поле комплексного, либо вещественного фазового пространства.*

На Диффузионном поле реализуются два онтологических уровня хаотических потоков:

1. Динамический уровень. 2. Макроскопический уровень.

Хаотический поток динамического уровня – это поток обобщенной координаты: он описывается первым уравнением канонической системы потенциала ускорений (8).

Поток макроскопического уровня – это поток импульса: он описывается вторым уравнением канонической системы потенциала ускорений (8).

Общее представление уравнения потока обобщенной координаты я принял в известном виде:

$$\begin{aligned} \dot{q} = u; u &= \chi p + \omega; q \in D_s; \\ p &= \text{grad}\Psi; \omega = \text{rot}B; \Omega_q = R^3. \end{aligned} \quad (12)$$

Это уравнение четко и ясно иллюстрирует принципиальное отличие хаотической аэродинамики от классической.

Выполнив переход от основного геометрического объекта классической аэродинамики – конфигурационного пространства к новому основному геометрическому объекту – Диффузионному полю, я выполнил расширение переменных:

$$\{u | q \in D_s\} \rightarrow \{p; \omega | \{q, p\} \in D_s\}.$$

VI. Разделение уравнений Навье-Стокса

Вне всякого сомнения, центральное место в хаотической аэродинамике занимает проблема разделения уравнений Навье-Стокса. Истоки этой проблемы лежат в структуре диффузионного потока, определяемой уравнением (12). Как только мы ввели в теорию структуру хаотического потока на Диффузионном поле (диффузионного потока), мгновенно возникла проблема разделения общего потока, определяемого вектором скорости «u» на поток импульса и поток вихря (ротора). В этой проблеме приоритетная роль принадлежит статье А.Н. Панченкова и К.И. Матвеева «General-Entropy analysis of Navier-Stokes Equations» [16]. Авторы этой работы впервые сформулировали и решили проблему разделения уравнений Навье-Стокса. Последующие результаты по развитию этой проблемы содержатся в моих монографиях «Эконофизика» и «Аналитическое Естествознание» [12, 13].

Суть проблемы разделения состоит в редукции уравнений Навье-Стокса к двум комплектам уравнений: канонической системе уравнений потенциала ускорений и уравнениям вихря. Сама проблема разделения уравнений Навье-Стокса относится к математической гидродинамике и я в настоящей статье подробно изучать ее не буду. Здесь нам нужны только несколько основных окончательных результатов ее исследования.

В хаотической аэродинамике в частном случае вещественного фазового пространства уравнения Навье-Стокса выступают в роли уравнений состояния.

Эти уравнения в развиваемую теорию я ввел следующей гипотезой.

Гидродинамическая гипотеза: *На Диффузионном поле диффузионные аэродинамические потоки описываются уравнениями Навье-Стокса.*

Эта гипотеза приводит к основному результату: неполному комплекту основных уравнений:

$$\begin{aligned} \dot{q} = u: u = \chi p + \omega; q \in D_s; t \in [0, T] \\ \frac{Du}{Dt} = -\text{grad}Y + \nu \Delta u; \\ p = \text{grad}\Psi; \omega = \text{rot}B; Y = \frac{P}{\rho}. \end{aligned} \quad (13)$$

В этих уравнениях: P – давление в воздушном потоке, ρ – плотность воздуха.

Разделение уравнений Навье-Стокса поддерживается двумя гипотезами:

1. Гипотеза независимости: Вихрь не зависит от импульса.
2. Сильная симметрия Де-Рама

$$(\omega|p)_{\mathbb{R}^3} = 0: \{p, \omega\} \in D_s.$$

Основной результат процедуры разделения ясен: изъятие из теории уравнений Навье-Стокса и конструирование новой более эффективной системы основных уравнений хаотической аэродинамики.

И здесь ключевое звено:

Нахождение потенциала структуры $\Pi \triangleq \Pi(q, t)$.

Стандартное представление потенциала структуры имеет вид:

$$\Pi = -\chi \text{div}p + \tilde{\Pi}; q \in D_s. \quad (14)$$

С помощью известной математической техники разделения я получил следующее уравнение связи:

$$\begin{aligned} \Pi = \frac{Y}{\chi} - \frac{\chi}{2} \|p\|_{\mathbb{R}^3}^2 - \nu \text{div}p - \Phi + \frac{1}{2\chi} \|\omega\|_{\mathbb{R}^3}^2 \\ \text{grad}\Phi = [p \times \Omega]; \Omega = \text{rot}\omega; q \in D_s. \end{aligned} \quad (15)$$

В свою очередь, потенциал ускорений определяется следующей формулой:

$$\Theta = -\chi \|p\|_{\mathbb{R}^3}^2 + \chi \text{div}p - \tilde{\Pi}; q \in D_s. \quad (16)$$

VII. Основные уравнения хаотической аэродинамики

В вещественном фазовом пространстве комплект основных уравнений хаотической аэродинамики крыла экраноплана выглядит следующим образом:

1. Уравнение диффузионного потока

$$\begin{aligned} \dot{q} = u; u = \chi p + \omega; \{q, p\} \in D_s; \\ p = \text{grad}\Psi; \omega = \text{rot}B. \end{aligned} \quad (17)$$

2. Уравнение импульса

$$\frac{\partial p}{\partial t} = \text{grad}\Theta; \text{grad} = \frac{\partial}{\partial q}; \{q, p\} \in D_s. \quad (18)$$

3. Уравнение потенциала ускорений

$$\frac{\partial \Psi}{\partial t} = \Theta: \Theta = -\chi \|p\|_{\mathbb{R}^3}^2 + \chi \text{div}p - \tilde{\Pi}; \{q, p\} \in D_s. \quad (19)$$

4. Уравнение независимости

$$\text{grad}\Phi = [p \times \Omega]; \quad \Omega = \text{rot}\omega; \quad \{q, p\} \in D_s.$$

5. Сильная симметрия Де-Рама

$$(\omega|p)_{\mathbb{R}^3} = 0; \quad \{q, p\} \in D_s.$$

6. Уравнение связи

$$\tilde{\Pi} = \Pi + \chi \text{div}p: \quad \Pi = \frac{Y}{\chi} - \frac{\chi}{2} \|p\|_{\mathbb{R}^3}^2 - v \text{div}p - \Phi + \frac{1}{2\chi} \|\omega\|_{\mathbb{R}^3}^2; \quad \{q, p\} \in D_s.$$

7. Уравнение вихря

$$\begin{aligned} \frac{\partial \omega}{\partial t} &= [\omega \times \Omega] - v \text{rot}\Omega; \quad q \in D_s \\ \Omega &= \text{rot}\omega; \quad \text{rot}\Omega = -\Delta\omega. \end{aligned} \quad (20)$$

В хаотической аэродинамике крыла экраноплана основной проблемой является проблема движения низколетящего крыла в диффузионной среде. И здесь необходима еще одна **гипотеза**: *Крыло экраноплана расположено на Диффузионном поле*. Эта гипотеза обобщается и на экран: опорная поверхность расположена на Диффузионном поле.

VIII. Гиперболический импульс

Новым, неизвестным в классической аэродинамике, уникальным результатом является факт существования в диффузионной сплошной среде гиперболического импульса. Впервые я гиперболический импульс обнаружил и описал в книге «Энтропия-2: хаотическая механика» [9].

Гиперболический импульс обязан своим происхождением характерному уравнению диффузионного хаоса – уравнению гиперболичности

$$p \cdot q = \gamma; \quad \gamma = \left\| \begin{array}{c} \gamma_1 \\ \gamma_2 \\ \gamma_3 \end{array} \right\|; \quad \{q, p\} \in D_s. \quad (21)$$

Это уравнение и определяет гиперболический импульс:

$$p = \frac{\gamma}{q}; \quad \{q, p\} \in D_s. \quad (22)$$

В теорию диффузии гиперболический импульс вводится известным определением.

Определение 4. *Гиперболический импульс – это импульс, входящий в характерное уравнение диффузионного хаоса – уравнение гиперболичности.*

Для хаотической аэродинамики важно следующее свойство: *Гиперболический импульс – характерная элементарная структура диффузионного хаоса.*

В характерной частной реализации Диффузионного поля $\tilde{\Pi} = 0$ и потенциал ускорений будет:

$$\Theta = -\chi \|p\|_{\mathbb{R}^3}^2 + \chi \text{div}p. \quad (23)$$

Этот потенциал ускорений и определяет гиперболический импульс хаотической аэродинамики.

Для стационарного процесса $\frac{\partial \Psi}{\partial t} = \Theta_0$; $\Theta_0 = \text{const}$; и, полагая $\Theta_0 = 0$, мы и получаем из (23) значение гиперболического импульса

$$p_k = -\frac{1}{q_k}; k = 1, 2, 3. \quad (24)$$

В методологии и символьном выводе хаотической аэродинамики важную роль играет связь параметров $\{v, \chi\}$. В частном случае безвихревого диффузионного хаоса ($\omega = 0$) уравнение связи (15) при $\tilde{\Pi} = 0$ будет

$$\frac{Y}{\chi} - \frac{\chi}{2} \|p\|_{\mathbb{R}^3}^2 - (\chi - v) \operatorname{div} p = 0. \quad (25)$$

Теперь я буду предполагать, что ядро гиперболического импульса (особая точка) находится в окрестности входящей кромки крыла.

В этом случае в окрестности входящей кромки будут справедливы асимптотические оценки:

$$1. q_k \sim O(\varepsilon); p_k \sim \frac{1}{O(\varepsilon)}. \quad 2. \left\{ \|p\|_{\mathbb{R}^3}^2; \operatorname{div} p \right\} \sim \frac{1}{O(\varepsilon^2)}. \quad (26)$$

Очередным звеном идеологии и символьного анализа гиперболического импульса будет следующая достаточно очевидная и правдоподобная гипотеза.

Гипотеза ограниченности давления: В окрестности входящей кромки крыла давление имеет асимптотическую оценку:

$$Y \sim \frac{1}{O(\varepsilon^\beta)}; \beta < 2. \quad (27)$$

Простейший асимптотический анализ уравнения (25) с участием асимптотических оценок (26), (27) и приводит к нужному результату:

$$\chi = 2v. \quad (28)$$

IX. Познавательный пример: Плоская задача о стационарном движении тонкого низколетящего крыла

В характерной задаче околоэкранный аэродинамики – плоскостной задаче о стационарном движении тонкого низколетящего крыла следует, прежде всего, ввести вспомогательный импульс " \tilde{p} ":

$$\tilde{p} \triangleq p + \frac{\bar{v}_0}{\chi}; \quad \bar{v}_0 = \begin{pmatrix} -v_0 \\ 0 \\ 0 \end{pmatrix}.$$

Далее, с целью упрощения символики, следует выполнить переобозначение:

$$\tilde{p} \rightarrow p.$$

После переобозначения нам в символьных структурах (включая основные уравнения) следует выполнить замену:

$$\|p\|_{\mathbb{R}^3}^2 \rightarrow \|p\|_{\mathbb{R}^3}^2 - \frac{v_0}{\chi} p_1; \quad p = \begin{pmatrix} p_1 \\ p_2 \\ 0 \end{pmatrix}. \quad (29)$$

В результате потенциал ускорений познавательного примера будет определяться формулой:

$$\Theta = v_0 p_1 - \chi \|p\|_{\mathbb{R}^3}^2 + \chi \operatorname{div} p + \tilde{\Pi}; \quad \{q, p\} \in D_s. \quad (30)$$

В свою очередь, уравнения диффузионного потока и уравнения импульса будут:

$$\begin{aligned} \dot{\mathbf{q}} = \mathbf{u}: \quad u_1 &= \chi p_1 + \omega_1 - v_0; \\ u_2 &= \chi p_2 + \omega_2; \quad u_3 = 0. \end{aligned} \quad (31)$$

$$\begin{aligned} v_0 \frac{\partial p_1}{\partial q_1} &= \frac{\chi}{2} \frac{\partial}{\partial q_1} \|\mathbf{p}\|_{\mathbb{R}^3}^2 - \frac{\chi}{2} \Delta p_1 + \frac{1}{2} F_1; \\ v_0 \frac{\partial p_2}{\partial q_2} &= \frac{\chi}{2} \frac{\partial}{\partial q_2} \|\mathbf{p}\|_{\mathbb{R}^3}^2 - \frac{\chi}{2} \Delta p_2 + \frac{1}{2} F_2; \end{aligned} \quad (32)$$

$$\vec{F} = \text{grad} \tilde{\Pi}; \quad \vec{F} = \begin{pmatrix} F_1 \\ F_2 \\ 0 \end{pmatrix}; \quad \Delta = \frac{\partial^2}{\partial q_1^2} + \frac{\partial^2}{\partial q_2^2}.$$

Следуя установившейся традиции, задачу познавательного примера нужно привести к безразмерному виду с помощью двух характерных величин.

1. Характерная длина: a – полухорда крыла
2. Характерная скорость: v_0 – скорость набегающего потока.

В этом акте первое действие: преобразование обобщенной координаты

$$\mathbf{q} \rightarrow \{x, y, z\}: \quad x = \frac{q_1}{a}; \quad y = \frac{q_2}{a}; \quad z = \frac{q_3}{a}.$$

Второе действие: введение характерного отстояния.

Теперь введем стандартным способом уравнение связи

$$\bar{h}(x) = \bar{h}(0) + \frac{1}{2} \eta(x); \quad \bar{h} = \frac{h}{2a}. \quad (33)$$

в котором $\bar{h}(x)$ – местное относительное отстояние; $\bar{h}(0)$ – относительное отстояние задней кромки крыла и $\eta(x)$ – форма нижней поверхности крыла.

В символике уравнения связи характерное относительное отстояние определяется следующим образом:

$$\bar{h} = \bar{h}(2); \quad \bar{h}(2) = \bar{h}(x)|_{x=2}.$$

Третье действие: введение числа Рейнольдса.

$$\text{Re} = \frac{2v_0 a}{\nu}, \quad \text{либо} \quad \text{Re} = \frac{4v_0 a}{\chi}.$$

Четвертое действие: преобразование скорости; ротора; импульса; давления.

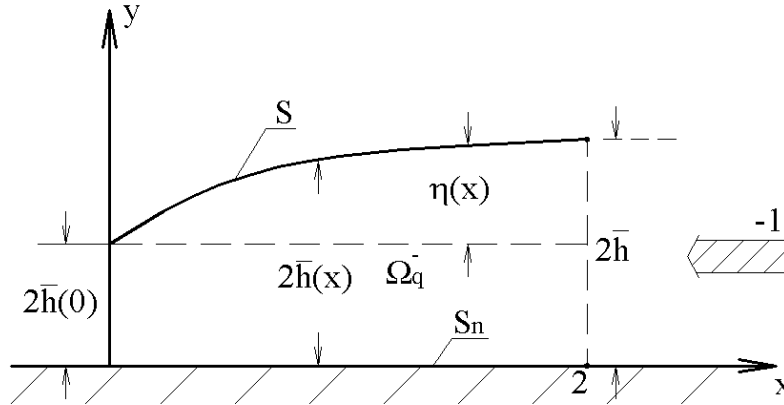
$$\mathbf{u} = v_0 \bar{\mathbf{u}}; \quad \boldsymbol{\omega} = v_0 \bar{\boldsymbol{\omega}}; \quad p = \frac{\bar{p}}{4a}.$$

В терминах безразмерных переменных уравнения (31) и (32) выглядят так:

$$\begin{aligned} 1. \quad \bar{u}_1 &= 2\mu \bar{p}_1 + \bar{\omega}_1 - 1; \quad \{x, y\} \in D_s : \\ \bar{u}_2 &= 2\mu \bar{p}_2 + \bar{\omega}_2; \quad \bar{u}_3 = 0; \quad \mu = \frac{1}{2\text{Re}}. \end{aligned} \quad (34)$$

$$\begin{aligned}
2. \quad \frac{\partial \bar{p}_1}{\partial x} &= \mu \frac{\partial}{\partial x} \|\bar{p}\|_{R^3}^2 - \mu \Delta \bar{p}_1 + \frac{1}{2} \bar{F}_1; \\
\frac{\partial \bar{p}_2}{\partial y} &= \mu \frac{\partial}{\partial y} \|\bar{p}\|_{R^3}^2 - \mu \Delta \bar{p}_2 + \frac{1}{2} \bar{F}_2; \quad \{x, y\} \in D_s : \\
\bar{F}_k &= \frac{4a^2}{v_0} F_k; \quad k=1, 2; \quad \Delta = \frac{\partial^2}{\partial x^2} + \frac{\partial^2}{\partial y^2}.
\end{aligned} \tag{35}$$

Кинематику и геометрию характерной задачи иллюстрирует следующий рисунок.



В задаче одними из краевых условий будут два условия на плоском экране S_n :

1. Условие неперетекания

$$\bar{u}_2 = 0: y = 0.$$

2. Условие прилипания

$$\bar{u}_1 = -1: y = 0.$$

Х. Гиперболический импульс познавательного примера

Важное значение в феноменологии познавательного примера имеет структура гиперболического импульса. Эта структура устанавливается путем анализа системы уравнений импульса (35).

Поскольку гиперболический импульс \bar{p}_1 зависит только от координаты «x»; а гиперболический импульс \bar{p}_2 – только от координаты «y», то на основе гипотезы ограниченности давления из системы (35) получаем два уравнения

$$\frac{\partial \bar{p}_2}{\partial y} = \bar{p}_2^2 + b; \quad \frac{\partial \bar{p}_1}{\partial x} = \bar{p}_1^2 - \frac{1}{\mu} \bar{p}_1. \tag{36}$$

Здесь первое уравнение при $b=0$ переходит в уравнение гиперболического импульса с хорошо известным решением

$$\bar{p}_2 = -\frac{1}{y-d}.$$

Но со вторым уравнением все не так: оно не описывает гиперболический импульс. Как известно, принятое сужение (упрощение) системы (35) в виде двух уравнений (36) справедливо при постулировании существования двух гиперболических импульсов $\{\bar{p}_1, \bar{p}_2\}$. Но второе уравнение (36) не содержит гиперболический импульс \bar{p}_1 и, следовательно, нужное нам решение есть тривиальное ре-

шение $\bar{p}_1 = 0$. Итог здесь имеет ключевое значение: *В познавательном примере в окрестности входящей кромки крыла существует только вертикальный гиперболический импульс.*

Именно вертикальный гиперболический импульс создает при остальных детерминированных условиях в окрестности входящей кромки крыла локальную зону диффузионного хаоса: в терминологии моей хаотической механики – диффузионного экстремального пограничного слоя (ЭПС).

XI. Характерная задача: Плоская задача о стационарном движении пластины вблизи экрана

В этой задаче существует опорное решение (первое приближение), в основе которого лежит широкоизвестное условие

$$\frac{\partial \bar{Y}}{\partial y} = 0; \{x, y\} \in \Omega_q^-; \quad (37)$$

$$\Omega_q^- = \left\{ x, y \mid x \in [0, 2]; y \in [0, 2\bar{h}(x)] \right\}.$$

Характеризация опорного решения задается следующими уравнениями диффузионного потока

$$\bar{u}_1 = \bar{\omega}_1; \bar{\omega}_1 = \bar{\omega}_1(y); \{x, y\} \in D_s; \quad (38)$$

$$u_2 = 0, u_3 = 0.$$

Для диффузионного потока (38)

$$\Delta \bar{u} = \Delta \bar{\omega}; \Delta \bar{\omega} = \frac{\partial^2 \bar{\omega}_1}{\partial y^2}; \angle_\varepsilon \bar{\omega} = 0. (\angle_\varepsilon \bar{\omega} - \text{производная Ли})$$

В свою очередь из уравнения Навье-Стокса и условия (37) получаем:

$$\bar{\omega}_1 = \bar{\omega}_1(y): \frac{\partial \bar{Y}}{\partial x} = G; G = \text{const}; \bar{Y} = \frac{Y}{v_0^2}. \quad (39)$$

Этот результат генерирует основное уравнение задачи:

$$\frac{\partial^2 \bar{\omega}_1}{\partial y^2} = D_2. \quad (40)$$

Это уравнение и определяет структуру опорного диффузионного потока:

$$1. \quad \bar{u}_1 = \bar{\omega}_1; \bar{\omega}_1 = \frac{D_2}{2} y^2 + D_1 y + D_0; \quad 2. \quad \bar{Y} = Gx + G_0; \quad (41)$$

$$3. \quad \bar{h}(x) = \bar{h}_0 + \frac{\alpha}{2} x; \alpha \sim O(\varepsilon); \quad 4. \quad \bar{u}_2 = 0, \bar{u}_3 = 0.$$

Здесь существует одна важная деталь: диффузионный поток (41) – напорный поток. Эта деталь отличает решение (41) от классического решения уравнений Навье-Стокса в плоской задаче о движении вязкой жидкости между параллельными стенками [17]. Напомним, что в (41) α – угол атаки пластинки. Если ограничиться первым приближением, то из решения (41) можно выделить частное решение, удовлетворяющее двум краевым условиям:

1. Условие подвижного экрана: $\bar{\omega}_1 = -1; y = 0$.

2. Условие на выходящей кромке крыла: $\bar{Y} = 0; x = 0$.

Эти условия определяют два коэффициента:

$$D_0 = -1; G_0 = 0. \quad (42)$$

В канонах околоэкранный аэродинамики коэффициент подъемной силы низколетящего крыла имеет представление:

$$C_y = C_y^+ + C_y^-$$

Здесь: C_y^- – коэффициент подъемной силы нижней поверхности крыла, C_y^+ – коэффициент подъемной силы верхней поверхности крыла.

Хорошо известны и следующие асимптотические оценки

$$C_y^- \sim O\left(\frac{\alpha}{h}\right); C_y^+ \sim O(\alpha).$$

Ясно, что для низколетящей пластинки будет справедливо приближение:

$$C_y \approx C_y^-. \quad (43)$$

Именно этим приближением я и ограничусь в изучаемой характерной задаче.

Обращаясь к известным формулам подъемной силы крыла в стационарном плоско-параллельном потоке:

$$D = C_y \rho v_0^2 a; D = \rho \int_0^{2a} Y dq_1; D = \rho a \int_0^2 Y dx;$$

я для коэффициента подъемной силы получил расчетную формулу.

$$C_y = \int_0^2 \bar{Y} dx. \quad (44)$$

В итоге, формулы (41) (42) (44) привели меня к следующему результату

$$C_y \approx 2G + O\left(\alpha \cdot \ln \bar{h}\right); G \sim O\left(\frac{\alpha}{h}\right). \quad (45)$$

Если подчинить вывод параметра G условию согласования построенного решения с квадратурной теорией крыла и принять $G = \frac{\alpha}{2h}$, то мы и получим известную формулу [5].

$$C_y = \frac{\alpha}{h}; \bar{h} = \bar{h}_0 + \alpha. \quad (46)$$

Теперь нам следует вспомнить важный факт: опорный диффузионный поток (41) – это точное решение уравнений Навье-Стокса. Этот факт приводит к следующему выводу.

Утверждение 2. *Напорный диффузионный поток вязкой жидкости – точное решение уравнений Навье-Стокса содержит в себе частное решение, обладающее коэффициентом подъемной силы, совпадающий с коэффициентом подъемной силы квадратурной теории крыла.*

ХII. Характерная задача: Второе приближение

Включение в диффузионный поток гиперболического импульса и формирует уравнения потока второго приближения:

$$\bar{u}_1 = \bar{\omega}_1; \{x, y\} \in D_s; \bar{u}_2 = 2\mu\bar{p}_2; \bar{u}_3 = 0; \bar{\omega}_1 = \frac{D_2}{2} y^2 + D_1 y - 1; \bar{p}_2 = -\frac{1}{(y-d)} + G_1; d = 2\bar{h} + \varepsilon. \quad (47)$$

В символьном выводе второго приближения относительное давление имеет представление

$$\bar{Y} \triangleq \bar{Y}_1 + \bar{Y}_2$$

$\bar{Y}_1 = Gx + G_0$ – давление первого приближения;

\bar{Y}_2 – давление гиперболического импульса.

В следующем действии, путем несложных приближенных вычислений, основанных на идеологии асимптотического анализа, из второго уравнения импульса (35) я получил формулу:

$$\bar{Y}_2 = -\frac{A\alpha}{(y-d)}; \quad d = 2\bar{h} + \varepsilon. \quad (48)$$

Для получения истинного давления, действующего на нижнюю поверхность пластинки, следует обратиться к гипотезе VII и выполнить сужение формулы (48) на нижнюю поверхность пластинки:

$$\bar{Y}_{2|y \in D_s} \rightarrow \bar{Y}_{2|y=2\bar{h}_0+\alpha x} : \bar{Y}_2 = -\frac{A\alpha}{\alpha(2-x) + \varepsilon}. \quad (49)$$

Теперь относительное давление (при $G_0 = -\frac{A\alpha}{2\alpha + \varepsilon}$) будет определяться формулой:

$$\bar{Y} = Gx + A\alpha \left(\frac{1}{\alpha(2-x) + \varepsilon} - \frac{1}{2\alpha + \varepsilon} \right). \quad (50)$$

В заключительном звене исследования на основе формул (44) (50) я получил асимптотическое значение коэффициента подъемной силы

$$C_y \approx A_1 + A \ln \varepsilon + O(\alpha). \quad (51)$$

Обращаю внимание на замечательный факт: коэффициент подъемной силы формулы (51) содержит три произвольных параметра $\{A_1, A, \varepsilon\}$.

У нас существует произвол (свобода их выбора) и, в одной из интерпретаций, эти параметры можно рассматривать как хаотические количества. В другой интерпретации можно принять детерминированные значения:

$$A_1 = \frac{\alpha}{h}; \quad \varepsilon = \bar{h}^\beta; \quad A = \frac{B\alpha}{\beta}.$$

В этом случае из (51) следует формула

$$C_y \approx \frac{\alpha}{h} + B\alpha \ln \bar{h} + O(1); \quad B \sim O(1).$$

При определенном выборе параметра «В» из этой формулы можно получить все многочисленные формулы известных теорий низколетящего крыла (включая мою квадрупольную теорию).

Литература

1. Панченков А.Н. Драчев П.Т., Любимов В.И. (2006). *Экспертиза экранопланов*. Н Новгород: ООО «Типография «Поволжье» 656с.
2. Панченков А.Н. (1965). *Гидродинамика подводного крыла*. Киев: Наукова думка. 550с.
3. Панченков А.Н. (1975). *Теория потенциала ускорений*. Новосибирск: Наука. СО. 220 с.
4. Панченков А.Н. (1982). *Асимптотические методы в экстремальных задачах механики*. Новосибирск: Наука. СО. 215с.
5. Панченков А.Н. (1983). *Теория оптимальной несущей поверхности*. Новосибирск: Наука. СО. 256с.
6. Панченков А.Н. Орлов Ю.Ф. и др. (1983). *Математическая технология пакета прикладных программ «Полет»*. Новосибирск: Наука. СО. 232с.
7. Панченков А.Н. Ружников Г.М. и др. (1983). *Асимптотические методы в задачах оптимального проектирования и управления движением*. Новосибирск: Наука. СО. 265с.
8. Панченков А.Н. (1999). *Энтропия*. Нижний Новгород: Издательство общества «Интелсервис». 592 с.
9. Панченков А.Н. (2002). *Энтропия-2: Хаотическая механика*. Нижний Новгород: Издательство общества «Интелсервис». 713с.
10. Панченков А.Н. (2004). *Инерция*. Йошкар-Ола: Издательство ГУП «МПИК». 417с.
11. Панченков А.Н. (2005). *Энтропийная механика*. Йошкар-Ола: Издательство ГУП «МПИК». 576с.
12. Панченков А.Н. (2007). *Эконофизика*. Н.Новгород. ООО «Типография Поволжье», 528с.
13. Панченков А.Н. (2008). *Аналитическое Естествознание*. Саранск: ГУП РМ «Красный Октябрь». 640с.
14. Panchenkov A.N. (2006). *Complex Spaces In Hydrodynamics: Complex Navier-Stokes Equations*. <http://arXiv.org/abs/phvsics/0609159>.
15. Panchenkov A.N. (2007). *The Entropy Model of Hydrodynamics*. «Проблемы нелинейного анализа в инженерных системах» №1(27). v. 13, p. 1-22.
16. Panchenkov A.N., and Matveev K.I. (2005). *General Entropy Analysis of Navier Stokes Equations*. Far East Journal of Applied Mathematics, 21(1). pp. 17-30.
17. M.Milne-Thomson (1960). *THEORETICAL HYDRODYNAMICS*. London. Macmillan and Co. LTD. NewYork. St. Martin`s Press.

Хаотическая аэродинамика крыла экраноплана: Основания. Общая теория

А.Н. Панченков

Аннотация

Статья посвящена основаниям и развитию хаотической аэродинамики крыла экраноплана – новому самостоятельному разделу околоэкранный аэродинамики. Основной проблемой хаотической аэродинамики крыла экраноплана является проблема движения низколетящего крыла в диффузионной среде. Объектом хаотической аэродинамики крыла экраноплана является хаотическая сплошная среда, а концептуальная модель хаотической аэродинамики крыла экраноплана является конкретизацией энтропийной концептуальной модели. Принципиальным отличием хаотической аэродинамики А.Н. Панченкова от классической аэродинамики является то, что в основе ее математической модели лежит каноническая система потенциала ускорений, а не уравнения Навье-Стокса. Это другой способ описания хаоса. Теорию статьи поддерживает шеститомная монография А.Н. Панченкова «Энтропия».